

تأثير البنية الهندسية للجزيئات القطبية الأيزوميرية على سلوكية احتفاظها على الأطوار الثابتة القطبية

الدكتورة جهينة ديب *

(قبل للنشر في 15/2/1997)

□ الملخص □

درس أثر البنية الهندسية للجزيئات القطبية الأيزوميرية الحلوية على حلقة عطرية واحدة (أيزوميرات كلوروبروم فينول، أيزوميرات نترو هيدروكسي فينول، أيزوميرات نترو تولوين ونترو الانيلين وميتيل فينول) على سلوكية احتفاظها على الأطوار الثابتة القطبية باستخدام محلات لاقطبية أو ضعيفة القطبية، من أجل التمكن من معرفة العلاقة بين البنية الهندسية للجزيئات القطبية الأيزوميرية وسلوكية الاحتفاظ. أوضحت النتائج أن سلوكية الاحتفاظ تتأثر بشكل رئيسي بفعل التغطية وبالروابط الهيدروجينية ولا تتوافق دوماً مع تزايد عزم ثانوي القطب للجزيئات.

*مدرسة في قسم الكيمياء - كلية العلوم - جامعة تشرين - اللاذقية - سورية .

The influence of geometric structure of polar isomeric molecules on its retention behavior on the polar stationary phases

Dr.Jouhaina Deeb*

(Accepted 15/2/1997)

ABSTRACT

The influence of geometric structure of polar isomeric molecules which contain one aromatic cycle (chlor and bromphenol isomers nitrohydroxyphenol isomers nitrotoluene and nitroanilined isomers) in its retention behavior in the polar stationary phases, by usage of non-polar or weak polar mobile phases, was studied. That is to know what is the relationship between the geometric structure of polar molecules of isomers and its retention behavior.

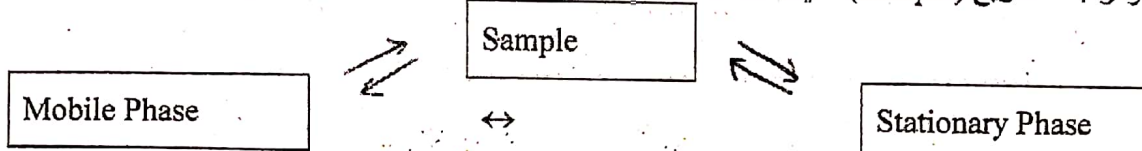
This study indicate that the retention behavior is influenced chiefly by two agents, covering effect and hydrogen bonding, and it is not oftenly comparable with the increase of dipol moment of molecules.

*prof at chemistry department- faculty of sciences – tishreen university – lattakia- Syria .

مقدمة:

تقوم الاختقانة (Selectivity) في كروماتوغرافيا الامتصاص السائلة ذات الأداء العالي (High Pressure Liquid Adsorption Chromatography) (HPLAC) على التأثيرات المتبادلة (Interreaction) التي تتشاًبَهُ بين عناصر الجملة الكروماتوغرافية وهي: الطور المتحرك (Eluent).

والطور الثابت (Adsorbent or Stationary phase) التي يمكن أن تمثل بالشكل: ومركبات المزيج (Sample)



وهي: طور متحرك - طور ثابت، عينة، عينة - طور ثابت. يعتمد الاحتفاظ (Retention) على الأطوار الثابتة القطبية في تقنية الكروماتوغرافيا السائلة الامتصاصية (LAC) على التأثيرات النوعية وغير النوعية المتبادلة التي تتشاًبَهُ بين العينة المدروسة وبين كل من الطور الثابت والطور المتحرك.

تشمل التأثيرات المتبادلة النوعية (Specific interactions) التي يمكن أن تتشاًبَهُ بين المادة المدروسة والطور الثابت على الأنواع التالية:

- الجسور الهيدروجينية (Hydrogen bondings).
- ثانوي قطب - ثانوي قطب متحضر (Dipolmoment – Quadropolen).
- أخذ - عاطي (Acceptor – Donor).
- ثانوي قطب - ثانوي قطب (Dipol – Dopol).
- الروابط التساندية (Coordinate).

اما التأثيرات المتبادلة غير النوعية فهي:

- قوى فندر فالس forces (Vander waals forces).
- قوى التعرض Induction forces.
- قوى التشتت Dispersion forces.
- قوى التوجّه Orientation forces.

ولهذا فإن تسلسل الفصل وسلوكية الاحتفاظ سوف تتأثر:

بالبنية الكيميائية والنسيجية للطور الثابت، لهذا اعتمدت هذه الدراسة على استخدام Lichrospher SI-60. كونه يملك سطح نووي كبير ($500m^2/gr$) وبالتالي قدرة امتصاصية عالية. وبطبيعة وبنية مكونات كل من العينة المدروسة والطور المتحرك السائل (snyder Scott [1,2]). ولابد هنا من الإشارة إلى أن شدة امتصاص المركبات العضوية تزداد وفق التسلسل التالي: السلفيدات > المركبات الهالوجينية العضوية ~ الأرومات > الأوليفينات > المركبات الهيدروكربونية المشبعة ~ الكحولات > الكيتونات ~ الألديهيدات ~ الاستيرات > مركبات النترو > الاتهيرات > الحمض الكربوكسيلي ~ الأميدات > السلفوكسیدات > السلفونات > الأمينات.

لقد بين كل من Kiesley و yasin ageev أن الاحتفاظ على الأطوار الثابتة القطبية بتقنية الكروماتوغرافية السائلة الامتصاصية (LAC) يتتأثر بشكل كبير بالتأثيرات المتبادلة النوعية التي تتشاًبَهُ بين العربية المدروسة وبين كل من الطور الثابت والطور المتحرك [3,4]. كما أكد العالم برنكمان (Brinkman) أن هناك علاقة واضحة بين حجم الاحتفاظ والبنية الكيميائية لمكونات العينة المدروسة من خلال دراسته للمركبات العطرية متعددة الهالوجين [5,6].

وأثبتت كل من Hussain و smolkova أن سلوكية الاحتفاظ لمركبات الكلوركربنوزول [7,8,9] على الأطوار الثابتة المعكوسة (RPC) يتأثر بالبنية الهندسية للمركبات المدروسة.

يعتمد احتفاظ المركبات القطبية على المواد الحاملة القطبية باستخدام الأطوار المتحركة اللاقطبية أو الضعيفة بشكل خاص على التأثيرات المتبادلة النوعية للمادة المدروسة مع الطور الثابت (وخاصة المركبات القطبية غير الحاوية على سلسلة هيدروكربونية طويلة) وذلك لأن التأثيرات المتبادلة غير النوعية بين المادة المدروسة والطور الثابت لا تلعب هنا - أي نظام الفصل (طور ثابت قطبي - طور متحرك لا قطبي أو ضعيف القطبية) دور أساسي وجوهري في عملية الفصل لأن الطور المتحرك يتكون أساساً من جزيئات لاقطبية.

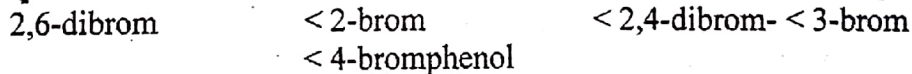
يتركز هذا البحث على دراسة تأثير البنية الهندسية للجزيئات القطبية الأيزوميرية على سلوك الاحتفاظ على الأطوار الثابتة القطبية باستخدام لقطبية أو ضعيفة القطبية وذلك للتمكن من الوصول إلى معرفة العلاقة بين البنية الهندسية للجزيئات القطبية الأيزوميرية وسلوك الاحتفاظ على الأطوار الثابتة القطبية.

القسم العملي part:

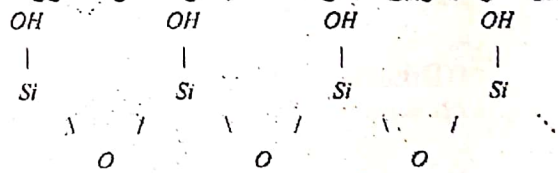
- جهاز فصل كروماتوغرافي سائل (HPLC(Bruker)(LC-41).
- الكاشف المستخدم: UV-Detector (245nm).
- الأطوار المتحركة المستخدمة:
- 1- نظامي هكسان: ايزوبوبانول (2:98) (V/V).
- 2- نظامي هكسان: ايزوبوبانول: كلوروفورم (20:2:78) (V/V/V).
- العينات Samples: أجريت الدراسة على 24 مركب وهم:
 - ايزوميرات بروم فينول (أورثوبروم فينول، ميتا بروم فينول، بارا بروم فينول، 4,2-دي بروم فينول، 6,2-دي بورم فينول).
 - ايزوميرات نترو فينول (أورثونترو فينول، ميتا نترو فينول، بارا نترو فينول).
 - ايزوميرات كلور فينول (أورثو كلور فينول، بارا كلور فينول، 4,2-دي كلور فينول، 6,2-دي كلور فينول).
 - كريزولات (أورثو ميتيل فينول، بارا ميتيل فينول، ميتا ميتيل فينول).
 - ايزوميرات نترو التولوين (أورثونترو التولوين، ميتا نترو التولوين، بارا نترو التولوين).
 - ايزوميرات نترو الاتيلين (أورثونترو الاتيلين، ميتا نترو الاتيلين، بارا نترو الاتيلين).
 - ايزوميرات هيدروكسي فينول (أورثو هيدروكسي فينول، ميتا هيدروكسي فينول، بارا هيدروكسي فينول).
- تم تحضير عينات مخبرية على شكل مزائج لكل مجموعة ايزوميرية وذلك بأخذ (1mg) من كل مادة وإذابتها في حجم قدره (1ml) من الطور المتحرك المستخدم في عملية الفصل. كما تم تحضير عينة مقارنة لكل مادة للتمكن من تحديد زمن الاحتفاظ وتسلسله.
- العمود المستخدم: Lichrospher SI-60 (Merck) 10 μm , 250×4mm.

النتائج والمناقشة Results and Discussion:

من خلال دراسة كروماتوغرام الفصل الكروماتوغرافي للمحلول الحاوي على مركبات البروم فينول الأيزوميرية شكل رقم (1) نجد أن المركبات المستبدلة في موقع اورثو تتفصل بسرعة أكبر من المركبات المستبدلة في موقع ميتا أو بارا حيث نجد أن K للمركبات المدروسة الخمسة تتزايد وفق التسلسل التالي:



ينفصل مركب 2,6-دي بروم فينول بسرعة خارج عمود الفصل بالمقارنة مع المركبات الأخرى. يمكن أن يفسر ذلك من خلال التأثيرات المتبدلة - الجسور الهيدروجينية التي تتشاًبَهُ بين ذرتَيِ البروم المستبدلين في موقع اورثو (بالنسبة لمجموعة OH) وبين المجموعة الفينولية وهذا ما يؤدي إلى إضعاف قوة التأثير المبادر النوعي بين المركب وبين مجموعات السilyanol الحرّة للطور الثابت:



وبالتالي إلى إنفصال زمن الاحتفاظ.

يلي المركبات المستبدلة في موقع اورثو بالنسبة لمجموعة الفينول في كروماتوغرام الفصل المركبات المستبدلة في موقع ميتا ثم بارا وهذا التسلسل في الفصل يمكن أن يوضح من خلال أن إمكانية نشوء الجسور الهيدروجينية بين ذرة البروم ومجموعة الفينول OH تتناقص حسب السلسلة التالية $O>M>P$ ولهذا تملك المركبات المستبدلة في موقع بارا بالنسبة لمجموعة OH الفينولية أكبر قيمة k' أي أكبر زمن احتباس من ناحية أخرى يتوافق هذا السلوك في الفل مع تزايد عزم ثانٍ القطب لكل مركب، حيث أن عزم ثانٍ القطب للمركبات: اورثو بروم- ميتا بروم - وبارا بروم فينول يتزايد وفق السلسلة التالية:



1.36 <2.1 <2.8

- شكل (1): كروماتوغرام الفصل لمركبات بروم فينول الأيزوميرية
- الطور الثابت: سليكاجل Lichrospher S1-60, $10\mu\text{m}$.
 - العمود: $250 \times 4\text{mm}$, كاشف UV بطول موجة 254nm .
 - الطور المتحرك: هكسان: إيزوبروبانول: كلوروفورم $20:2:78$ (V/V/V).
 - سرعة التدفق: 1ml/min , الكمية المحقونة: 1ml .

يملك مركب بارا بروم فينول أكبر عزم ثانوي قطب وهذا ما يجعله يتأخر في الفصل حيث أن قوة التأثير النوعي الناشئ بين المجموعة الوظيفية الهيدروكسيلية على الحلقة العطرية ومجموعات السيلانول الفعالة على سطح الطور الثابت كبيرة إلى حد ما وهذا يؤدي إلى ازدياد زمن الفصل والاحتباس بالمقارنة مع المركبين الآخرين (ميتا وبارا) الذين يملكان قطبية أقل وزمن احتباس أقل كما هو موضح في الجدول رقم (1). [10]

الجدول (1):

Name of compound	k'	$\mu(\text{inD})$
1) o-bromphenol	0.20	1.36
2) m-bromphenol	1.22	2.1
3) p-bromphenol	1.54	2.8

يظهر كروماتوغرام الفصل لمركبات كلورفينول الأيزوميرية شكل رقم (2) ان المركبات المستبدلة في موقع اورتو تتفصل أيضا قبل المركبات المستبدلة في موقع ميتا وبارا حيث تجد من الجدول رقم (2) ان قيمة k' للمركبات المفصولة تتزايد وفق التسلسل التالي:

$2,6\text{-dichlor} < 2\text{-chlor} < 2,4\text{-dichlor} < 4\text{-chlorphenol}$

شكل (2): كروماتوغرام الفصل لمركبات كلور فينول الأيزوميرية.

- الطور الثابت: Lichrospher S1-60, $10\mu\text{m}$.
- الطور المتحرك: هكسان: إيزوبروبانول: كلوروفورم $20:2:78$.
- سرعة التدفق: 1ml/min , الكمية المحقونة: 1ml .
- كاشف: UV, 254nm .

تفصل المركبات في موقع اورتو بالنسبة لمجموعة الهيدروكسيل الفينولية قبل المركبات المستبدلة في موقع ميتا وبارا على الحلقة العطرية ويعود السبب في ذلك إلى التأثيرات المتبادلة بين ذرة الكلور ومجموعة OH (الجسور الهيدروجينية) التي تضعف من شدة التأثير المتبادل بين المجموعة الوظيفية الفينولية والمجموعات الوظيفية للطور الثابت وهذا ما يزيد من سرعة الفصل إذ تتناقص إمكانية نشوء الجسور الهيدروجينية حسب التسلسل التالي:

$O > M > P$

وهذا يطابق تسلسل الفصل حيث يملك المركبات المستبدلة في موقع بارا أكبر قيمة k' كما يظهره الجدول رقم (2).

الجدول (2):

Name of compound	k'	$\mu(\text{inD})$
1) 2,6-bichlorphenol	0.10	-
2) 2-chlorphenol	0.25	1.43
3) 2,4-dichlorphenol	0.42	-
4) 4-chlorphenol	1.60	2.68

من خلال قراءة قيمة k' لمركبات نتروفينول الايزوميرية جدول رقم (3) نجد ان مركب اورثونتروفينول يملك أقل قيمة k' كما يظهر ايضاً في كروماتوغرام الفصل الكروماتوغرافي شكل رقم (3).

الجدول (3):

Name of compound	k'	$\mu(\text{inD})$
1) o-nitrophenol	0.42	3.1
2) m- nitrophenol	1.14	3.90
3) p- nitrophenol	1.66	5.05

شكل (3): كروماتوغرام فصل مركبات نتروفينول الايزوميرية.

- الطور الثابت: Lichrospher S1-60, 10 μm , 250×4mm

- الطور المتحرك: ن-هكسان: ايزوبروبانول: كلوروفورم

(V/V/V) 20 : 2 : 78

- سرعة التدفق: 1ml/min

- كاشف: UV,254nm

- الكمية المحقونة: 1ml

- العينة: مزيج من اورثونتروفينول، ميتانتروفينول وبارانتروفينول.

أي أن التسلسل في الفصل يأخذ الشكل التالي:

O- < M- < P-

ويفسر ذلك من خلال أن مجموعة النترو المستبدلة في موقع اورثو بالنسبة لمجموعة الفينول OH، تدخل في تأثير متبادل معها وتشكل جسورة هيدروجينية (OH.....NO₂) وهذا يضعف من قوة التأثير المتبادل بين مجموعة OH الفينولية والمجموعات الوظيفية الهيدروكسيلية على سطح الطور الثابت وبالتالي تزداد سرعة الفصل أي تتناقص قيمة k' [11,12].

عند فصل مركبات هيدروكسي فينول الايزوميرية شكل رقم (4) حصلنا على نفس السلوكية في الاحتفاظ حيث ان الفصل مركب اورثوهيدروكسي فينول قبل مركب ميتا وبارا هيدروكسي فينول أي وفق السلسلة التالية:

O-Hydroxy - < M-Hydroxy - < P-Hydroxyphenol

شكل (4): فصل عينة من مركبات هيدروكسي فينول الايزوميرية.

- الطور الثابت: Lichrospher S1-60, 10 μm , 250×4mm

- الطور المتحرك: ن-هكسان: ايزوبروبانول: كلوروفورم

20 : 2 : 78

- سرعة التدفق: 1ml/min

- كاشف: UV,254nm، الكمية المحقونة: 1ml

يفسر هذا أيضاً من خلال الجسور الهيدروجينية التي تنشأ بين مجموعة OH في موقع اورثو والمجموعة الوظيفية الفينولية والتي تؤدي إلى إضعاف التأثير المتبادل النوعي بين مجموعة الفينول والموقع الفعال على سطح الطور الثابت وبالتالي انخفاض زمن الاحتفاظ.

وبالرغم من أن عزم ثانى القطب للمركبات المدروسة جدول رقم (4) يأخذ التسلسل التالي [13]:

O > M

نجد أن مركب اورثو الذي يملك قطبية عالية ينفصل قبل مركب ميتا وبارا وهذا يظهر التأثير الفعال للجسور الهيدروجينية في إضعاف التأثير المتبادل بين المادة والموقع الفعال على سطح الثابت والتحكم في سلوكية الاحتفاظ.

الجدول (4):

Name of compound	k'	$\mu(\text{inD})$
------------------	------	-------------------

1) o-hydroxyphenol	0.14	2.58
2) m- hydroxyphenol	4.14	1.53
3) p- hydroxyphenol	5	-

من الجدول رقم (5) الذي يبين قيم k' لمركبات ميتيل فينول الايزوميرية نجد أن مركب اورثو ميتيل فينول يملك أقل قيمة لـ k' حيث يتسلسل الفصل:

O-Methyl - < M-Methyl - < P-Methyl
وهذا ما يوضحه الشكل رقم (5) أيضا.

الجدول (5):

Name of compound	k'	$\mu(\text{inD})$
1) o-methylphenol	0.47	1.11
2) m- methylphenol	2.5	1.60
3) p- methylphenol	2.9	1.64

شكل (5): كروماتوغرام الفصل لمركبات ميتيل فينول الايزوميرية.

- الطور الثابت: Lichrospher S1-60, $10\mu\text{m}$, $250 \times 4\text{mm}$.

- الطور المتحرك: هكسان: ايزوبروبانول

(V/V) 2 : 78 :

- سرعة التدفق: 1ml/min .

- كاشف: UV, 254nm .

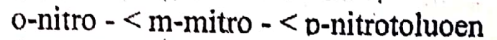
- الكمية المحقونة: 1ml .

ينفصل مركب اورثو ميتيل فينول قبل كل من المركب المستبدل في موقع ميتا. وبارا بالنسبة لمجموعة الفينول ويمكن تفسير ذلك من خلال تأثير التغطية (Covering effect) الذي تمارسه مجموعة الميتيل المستبدلة في موقع اورثو بالنسبة لمجموعة OH الفينولية والتي تؤدي إلى إضعاف التأثير المتبادل بين المركب والمواقع الفعالة على سطح الطور الثابت وبالتالي انخفاض زمن الفصل وبالطبع يمكن أن نوضح أن تأثير التغطية التي تمارسه مجموعة الميتيل على المجموعة الوظيفية الفينولية يتناقص حسب التسلسل التالي:



أي أن تأثير التغطية التي يمكن أن تمارسه مجموعة الميتيل على مجموعة الهيدروكسيل في مركب بارا ميتيل فينول شبه معدوم ولهذا فهو يتأخر في عملية الفصل.

عند دراسة سلوكية احتفاظ مركبات نترو والتولوين الايزوميرية حصلنا على نفس التسلسل السابق في الفصل كما يظهره كروماتوغرام الفصل رقم (6) أي:



بنفس الطريقة السابقة نوضح أن مركب اورثونترو التولوين يملك أقل قيمة لـ k' من المركبين السابقين جدول رقم (6) بسبب تأثير التغطية التي تخفض من شدة التأثير المتبادل بين مجموعة النترو NO_2 والمجموعات الوظيفية الهيدروكسية على السطح الفعال للطور الثابت والتي تتناقص من موقع اورثو وحتى بارا ولهذا ينفصل مركب بارا الذي لا تستطيع ان تبني فيه مجموعة الميتيل أو تمارس تغطية على مجموعة النترو.

شكل (6): كروماتوغرام الفصل لمركبات نترو التولوين الايزوميرية.

- الطور الثابت: Lichrospher S1-60, $10\mu\text{m}$, $250 \times 4\text{mm}$.

- الطور المتحرك: ن-هكسان: ايزوبروبانول: كلوروفورم

(V/V/V) 10 : 2 : 88 :

- سرعة التدفق: 1ml/min .

- الكاشف: UV, 254nm .

الجدول (6):

Name of compound	k'	$\mu(\text{inD})$
1) o-nitrotoluene	2.93	3.66
2) m-nitrotoluene	3.39	4.14
3) p-nitrotoluene	4.51	4.42

يعطي الجدول رقم (7) قيم k' لمركبات نترو الائين الأيزوميرية.

الجدول (7):

Name of compound	k'	$\mu(\text{inD})$
1) o-nitroaniline	0.2	4.06
2) m-nitroaniline	0.69	4.91
3) p-nitroaniline	1.7	6.32

يظهر في الجدول أن مركب اورثونترو الائين يملك أقل قيمة k' أي أقل زمن احتباس ويفسر هذا من خلال التأثير المتبادل - الجسور الهيدروجينية التي تتشابه بين مجموعتي النترو والأمين ($\text{NH}_2 \dots \text{NO}_2$) على الحلقة العطرية والتي تؤدي إلى انخفاض التأثير المتبادل بين المركب والموقع الفعال على سطح الطور الثابت وبالتالي إلى السرعة في الفصل أي انخفاض زمن الاحتفاظ.

وبنفس الطريقة يمكن تفسير ازدياد زمن الاحتباس لمركب بارا نترو الائين الذي يعود إلى انخفاض تأثير الجسور الهيدروجينية إذ تتناقض إمكانية نشوء هذه الروابط حسب السلسلة التالية $(\text{O}^- > \text{M}^- > \text{P}^- > \text{O-H})$ ولهذا يتفصل مركب بارا نترو الائين في الأخير نظرًا لعدم إمكانية تشكيل الجسور الهيدروجينية بين المجموعتين NO_2 و OH على الحلقة العطرية فيه والشكل رقم (7) يوضح تسلسل الفصل لهذه المركبات.

شكل (7): كروماتوغرام الفصل لمركبات نترو الائين الأيزوميرية.

- الطور الثابت: Lichrospher S1-60, $10\mu\text{m}$, $250 \times 4\text{mm}$.

- الطور المتحرك: ن-هكسان: أيزوبروبانول: كلوروفورم

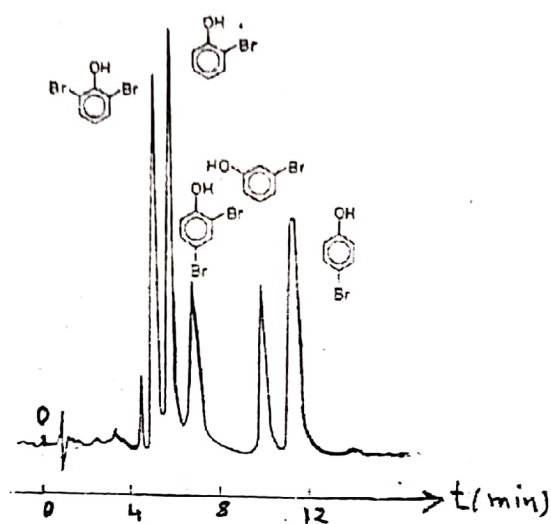
$(\text{V/V/V}) 10 : 2 : 88$

- سرعة التدفق: 1ml/min .

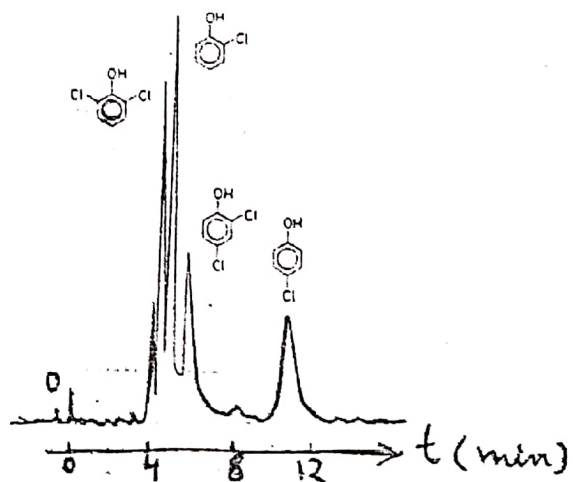
- الكاشف: $\text{UV}, 254\text{nm}$.

من خلال هذه الدراسة نخلص إلى النتائج التالية:

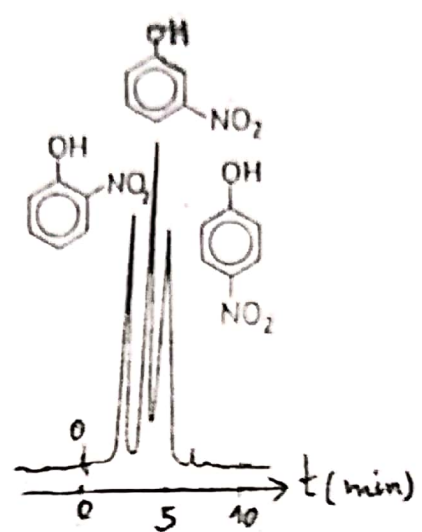
- تفصل المركبات الفينولية الأيزوميرية - أيزوميرات نتروفينول على سطح السياكاجل التي تحمل مجموعات السلاسل حسب التسلسل التالي: $\text{O}^- < \text{M}^- < \text{P}^-$ وهذه السلوكية في الاحتفاظ تعود إلى تأثير الجسور الهيدروجينية بين المجموعات القطبية المتجاورة والتي تتحفظ من موقع اورثو وحتى بارا.
- السلوك نفسه في الاحتفاظ نجده عند مركبات نترو الائين الأيزوميرية حيث تتشاء المجموعات القطبية بين مجموعتي النترو والأمين المتجاورتين.
- المركبات التي لا تدخل فيها الزمر المتبادل على حلقة البنزن في أي تأثير متبادل فيما بينها مثل أيزوميرات ميتيل فينول وأيزوميرات نترو التولوين تفصل أيضًا بنفس التسلسل السابق $\text{O}^- < \text{M}^- < \text{P}^-$ وهذه السلوكية في الاحتفاظ تعود إلى فعل التغطية التي تمارسه مجموعة الميتيل على المجموعات القطبية (مجموعة NO_2 - مجموعة OH).
- تتوافق السلوكية في الاحتفاظ من أجل كل المركبات المدرورة مع تزايد عزم ثانوي القطب لها ما عدا مركبات هيدروكسى فينول الأيزوميرية حيث تتفصل بشكل معاكس لتزايد عزم ثانوي القطب لها بسبب نشوء الجسور الهيدروجينية بين مجموعتي الهيدروكسيل المتجاورة والتي تؤدي إلى إضعاف التأثير المتبادل بين المركب والموقع الامتصاصي الفعال على سطح الطور الثابت وبالتالي إلى تخفيض زمن الاحتفاظ.



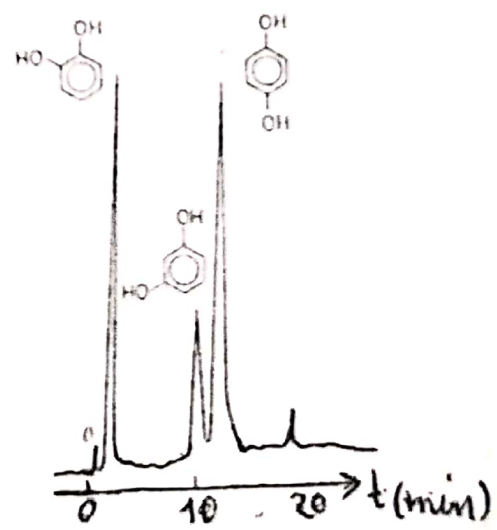
شكل (1)



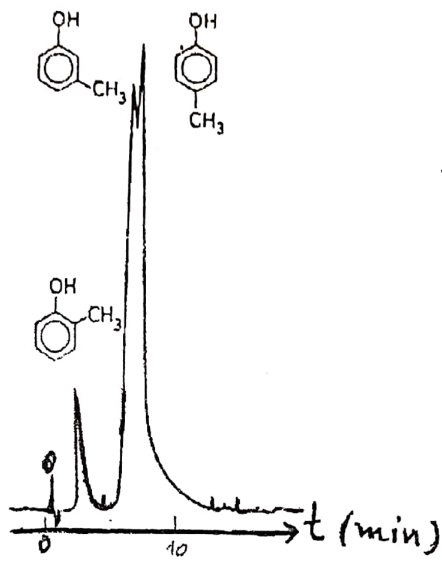
الشكل (2)



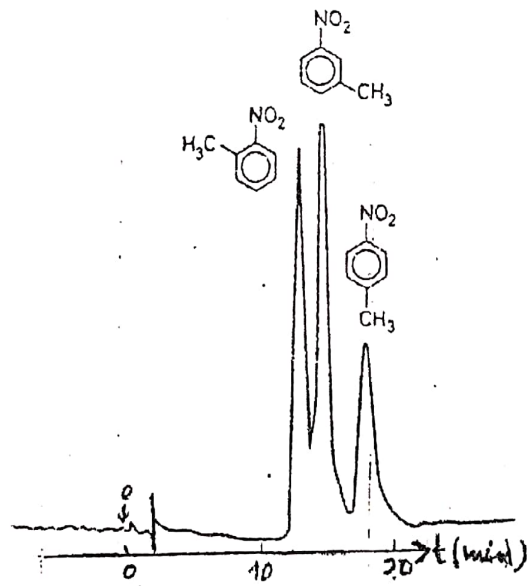
شكل (3)



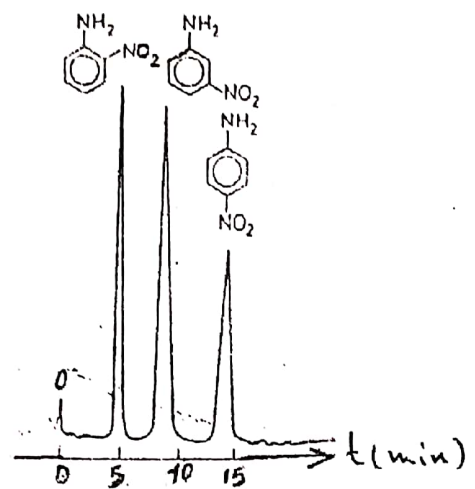
شكل (4)



شكل (5)



شكل (6)



شكل (7)

المراجع:

-
- [1]- Scott, R.P.W.: Analyst 103 (1978).
 - [2]- Snyder, L.R.; Poppe, H.: J. Chromatogr. 184 (1980).

 - [3]- Ageev, A.N., Kieslev, A.V, Jasim, Ja.1; dokl. Akad. Navk SSSR 249 (1979).
 - [4]- Ageev, A.N., Kieslev, A.V, Jasim, Chromatographia, 13 (1980).
 - [5]- Brinkman, V.A; De Vries, G; turkenburg, L.A.M.J. High rsolut. Chromatogr. and chromatgr. Comm. 1 (1978).
 - [6]- Brinkman. V.A.T; De Vries, G: J. Chromatogr. 169 (1979).
 - [7]- Hussain, S, Kifagatulla 156 (1978).
 - [8]- Hussain, S, Kunzelmann. F. Schidrnecht, H: J. Chromatoger 137 (1979).
 - [9]- Smolkova, E, Pacakova. F; Cronatographia 11 (1978).
 - [10]- Galya, L.G. Snatoni, J.C; liquid chromatogr. 3 (1988).
 - [11]- KrauB. G, KruB. Hochleistung – flüssigkeits chromatographia Band 2. Serva Heidelberg 1986.
 - [12]- Einführung in die schnelle flüssigkeits chromatographie, G, Eppert – Berlin 1988.
 - [13]- Laburbucher chemie, veronika Meger 3 Auflage 1984.